

# B崩壊の物理

飯嶋 徹

名古屋大学

2010年2月23日

特定領域「フレーバー物理の新展開」研究会



# Bファクトリーの3大物理成果

## 高輝度電子・陽電子衝突実験で切り開く物理

- B崩壊におけるCP対称性の破れの発見と  
小林益川理論の検証
- b/ c /  $\tau$  rare process における新物理探索

- B稀崩壊:  $B \rightarrow X_S \gamma, K^{(*)} \Pi, \tau \nu$

- D中間子混合

- $\tau$  LFV 高感度探索  $\sim O(10^{-8})$

- 新しいハドロン共鳴の相次ぐ発見



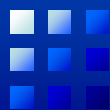
Super-KEKB/Belle II 実験へ

A02計画研究

居波

森、有田

測定器開発



# Bファクトリーの新たな可能性

## 「多彩なフレーバーでさぐる新しいハドロン存在形態の包括的研究」

世界をリードする素粒子原子核分野の実験・理論研究者が、「ハドロン」という共通のキーワードを得て結集、その境界領域に新しいハドロン物理学を創成する。

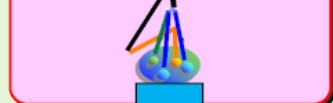
E01(理論研究) QCDに基づく統一的な理解+実験への予言

クォークがどのように質量を獲得し、どのような形態でハドロンに閉じ込められるのかを探る

A01(Bファクトリー)

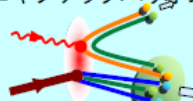
エキゾチックメソン

$e^+$   $e^-$



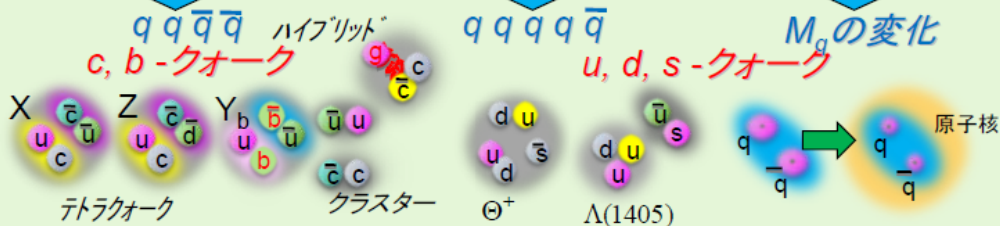
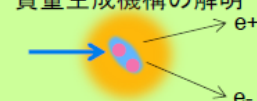
B01(LEPS)

エキゾチックバリオン



C01(J-PARC E16)

質量生成機構の解明



多彩なフレーバーと密度を変数とした(マルチ)クォーク物質の豊富なデータ

D01(検出器): 将来の加速器増強に向けて必要となる検出器共同開発

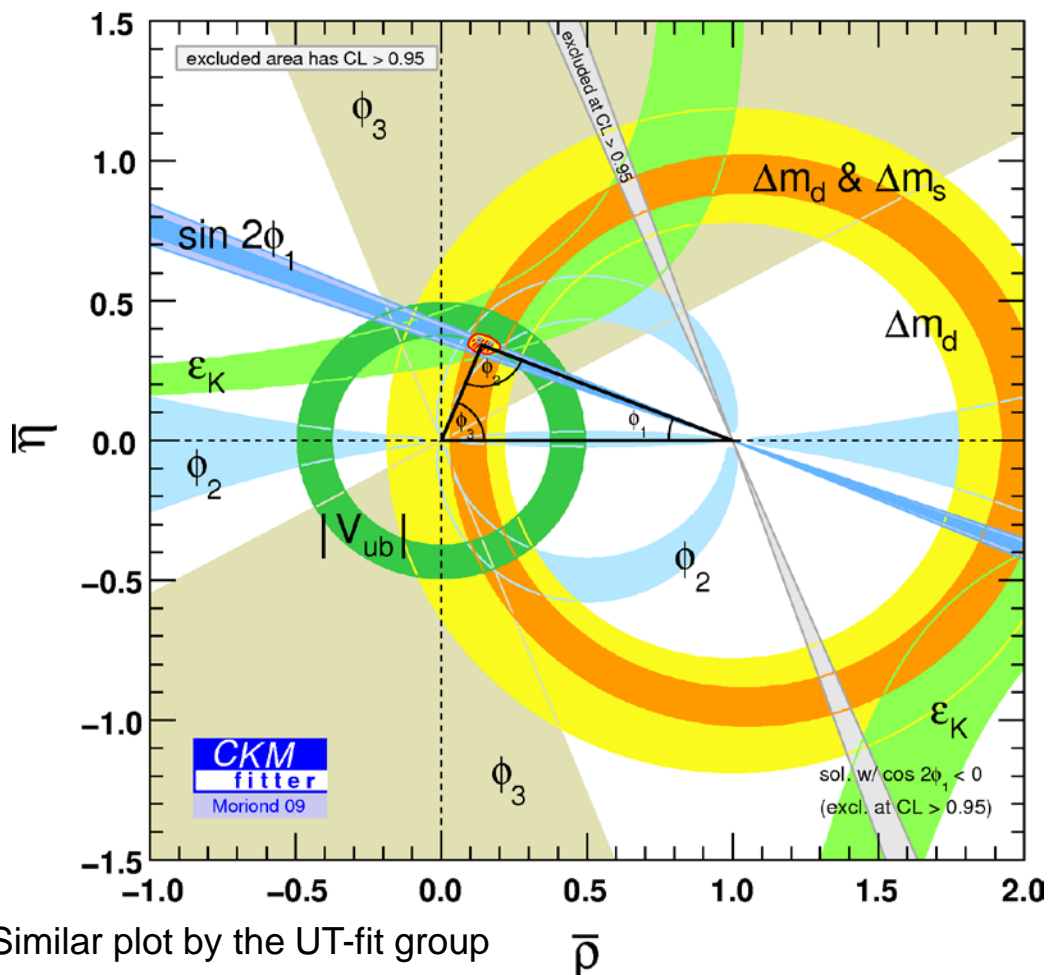
We welcome your contribution

Visit our home page !

[http://www.hepl.phys.nagoya-u.ac.jp/public/new\\_hadron/index.html](http://www.hepl.phys.nagoya-u.ac.jp/public/new_hadron/index.html)



# Success of the B-factories



2008 Nobel Prize in Physics



M. Kobayashi



T. Maskawa

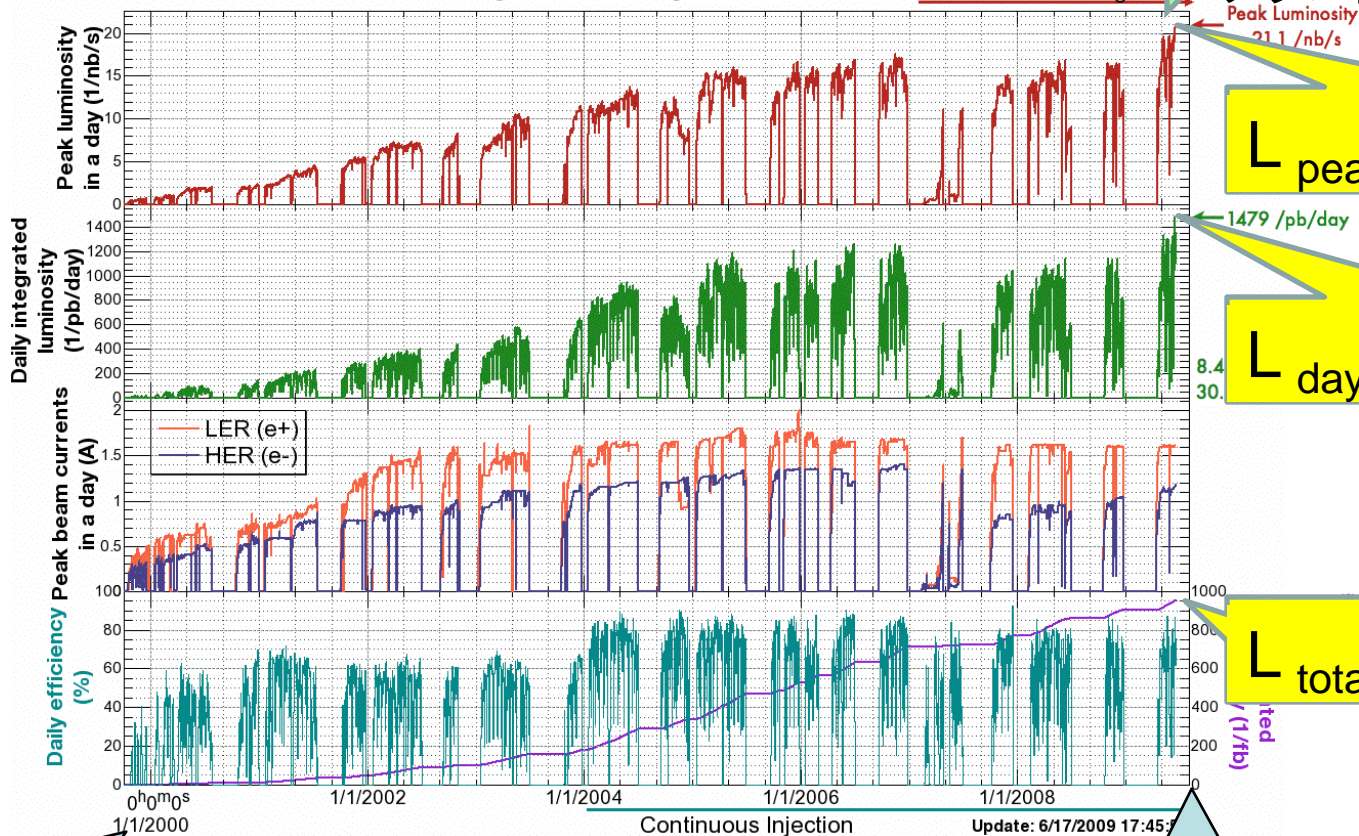
Still room for modifications by NP.  
Rare B decays are powerful tools !



# KEKB加速器の成果

## 世界最高のルミノシティを達成

Luminosity of KEKB  
Oct. 1999 - June 2009



クラブ衝突

Peak Luminosity  
21.1 /nb/s

$$L_{\text{peak}} = 21.1 \text{ /nb/s}$$

1479 /pb/day

$$L_{\text{day}} = 1479 \text{ /pb/day}$$

$$L_{\text{total}} = 955 \text{ /fb}$$

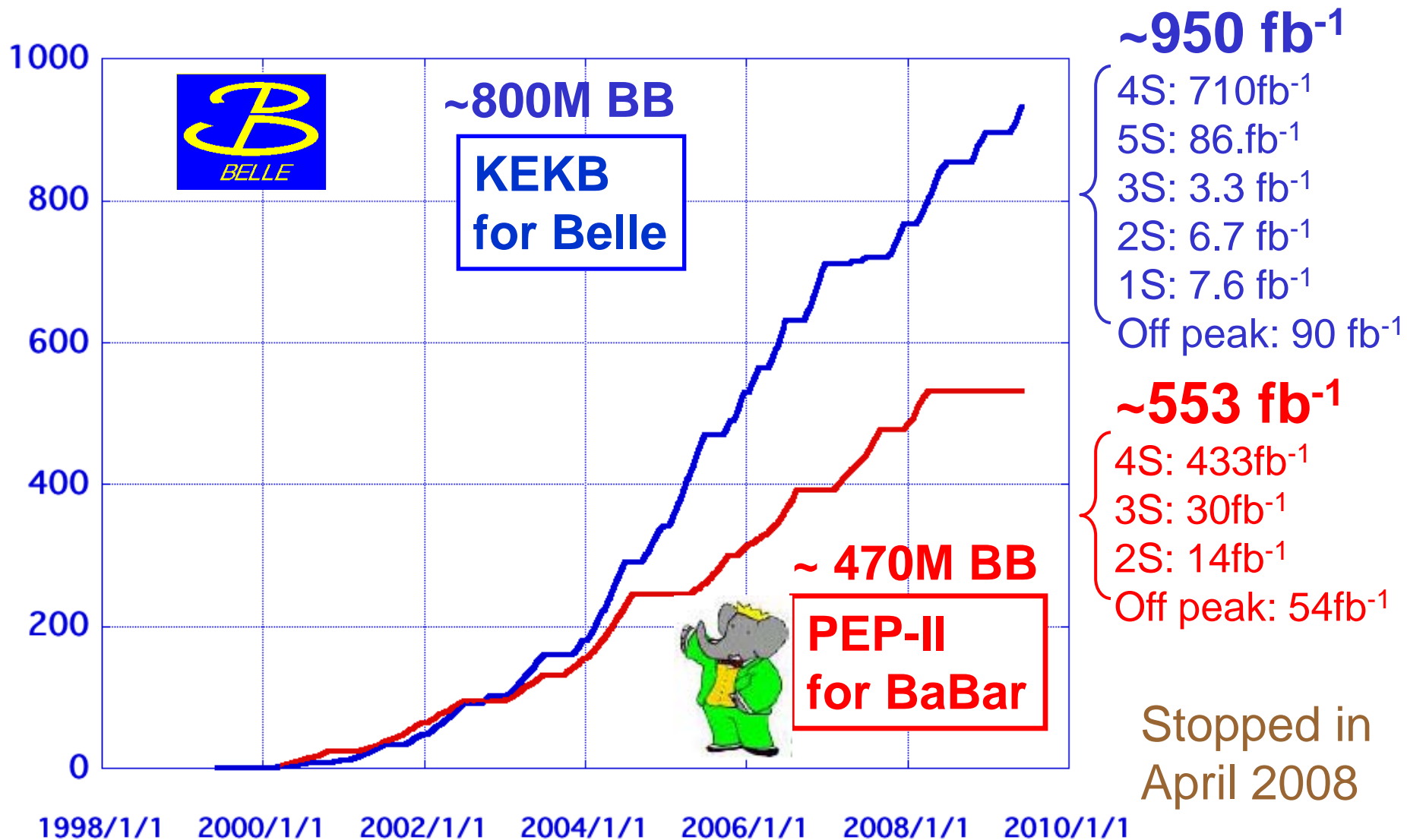
2000年1月

2009年6月

➔ 2009年12月までに  $>1\text{ab}^{-1}$  を達成



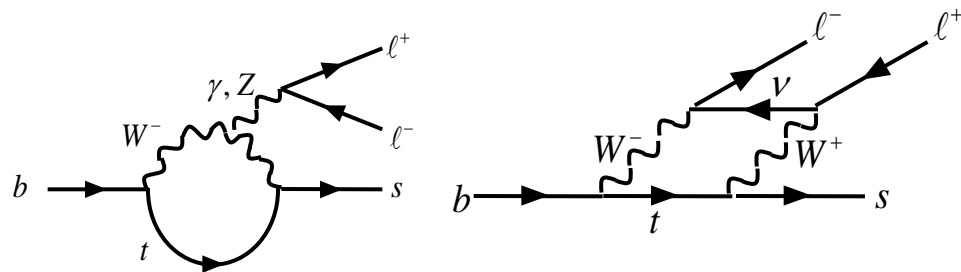
# Luminosity at the B-factories



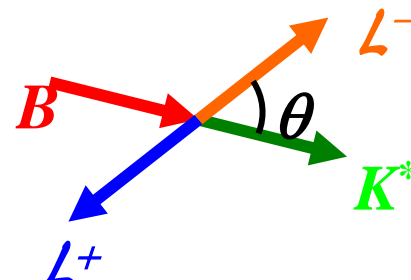


# B → K\* ll 崩壊

- FCNC 崩壊
- 極めてクリーンなプローブ
- 様々な測定量
  - $q^2$  分布
  - Forward-backward asymmetry
  - Isospin asymmetry etc.



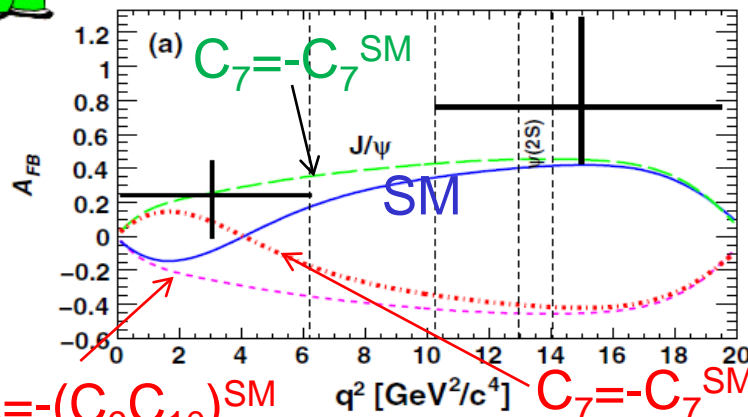
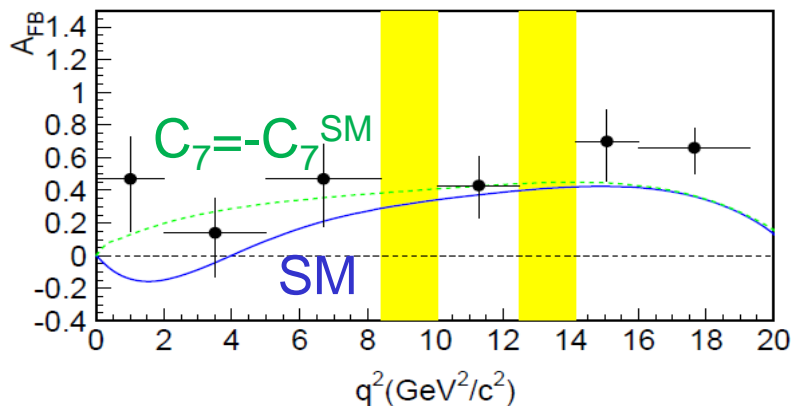
$$A_{FB} \propto \Re [C_{10}^* (sC_9^{eff}(s) + r(s)C_7)]$$



657 M BB,  
submitted to PRL, arXiv: 0904.0770

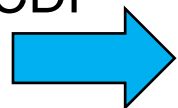


384M BB,  
PRD79, 031102(R) (2009)



$$C_9 C_{10} = -(C_9 C_{10})^{SM} \quad C_7 = -C_7^{SM} \text{ \& } C_9 C_{10} = -(C_9 C_{10})^{SM}$$

CDF

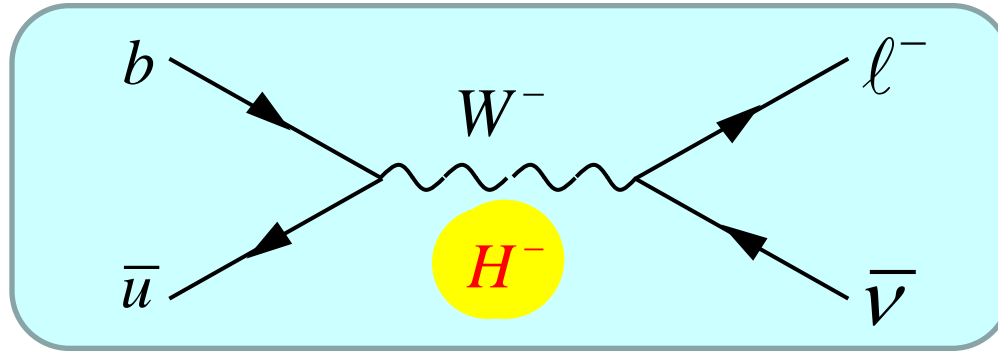


三宅さんのトーク

**A<sub>FB</sub> exceeds SM ?**



# $B^- \rightarrow \ell^- \bar{\nu}$



- Within SM, proceed via W annihilation.

$$\mathcal{B}(B^- \rightarrow \ell^- \bar{\nu}) = \frac{G_F^2 m_B m_\ell^2}{8\pi} \left(1 - \frac{m_\ell^2}{m_B^2}\right)^2 f_B^2 |V_{ub}|^2 \tau_B$$

Helicity suppression

$$Br(B \rightarrow e \nu) \ll Br(B \rightarrow \mu \nu) \ll Br(B \rightarrow \tau \nu)$$

$\sim 10^{-11}$                        $\sim 10^{-7}$

Determination of  $f_B |V_{ub}|$

$$f_B = 190 \pm 13 \text{ MeV} \quad \text{HPQCD, 0902.1815v2}$$

$$|V_{ub}| = (4.32 \pm 0.16 \pm 0.29) \times 10^{-3} \quad \text{HFAG ICHEP08}$$

$Br_{SM}(\tau \nu) = (1.20 \pm 0.25) \times 10^{-4}$

Sensitive also to NP (charged Higgs )



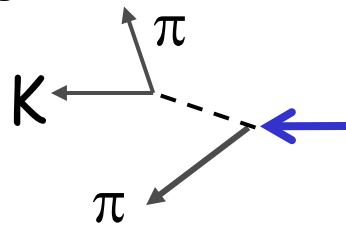


# Analysis for $B \rightarrow l \nu$

S/N

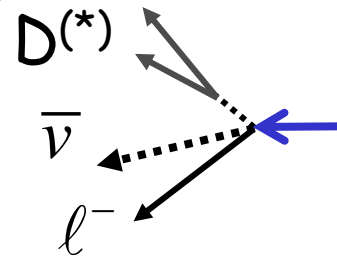
## Hadronic tags

$B_{\text{tag}} \rightarrow D^{(*)} \pi / \rho$  etc.



## Semileptonic tags

$B_{\text{tag}} \rightarrow D^{(*)} l \nu$  etc.



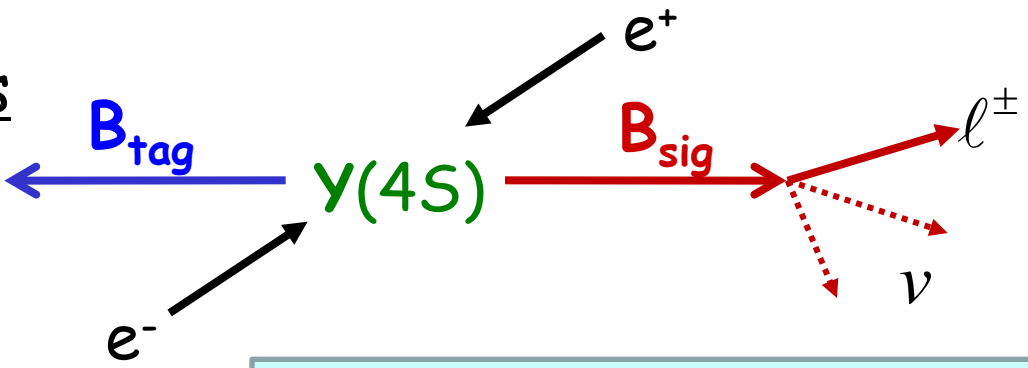
## Inclusive tags

4-vector sum of PID tracks (except for signal tracks)

## Tagging side

Reconstruct the recoil B to tag

- B production
- B flavor/charge
- B momentum



## Signal side: $B_{\text{sig}} \rightarrow l \nu$

- Detect charged track(s)
- Missing energy (mass) due to  $\nu$ 's
- No extra activities in EM calorimeter ( $E_{\text{ECL(extra)}}$ )

Eff

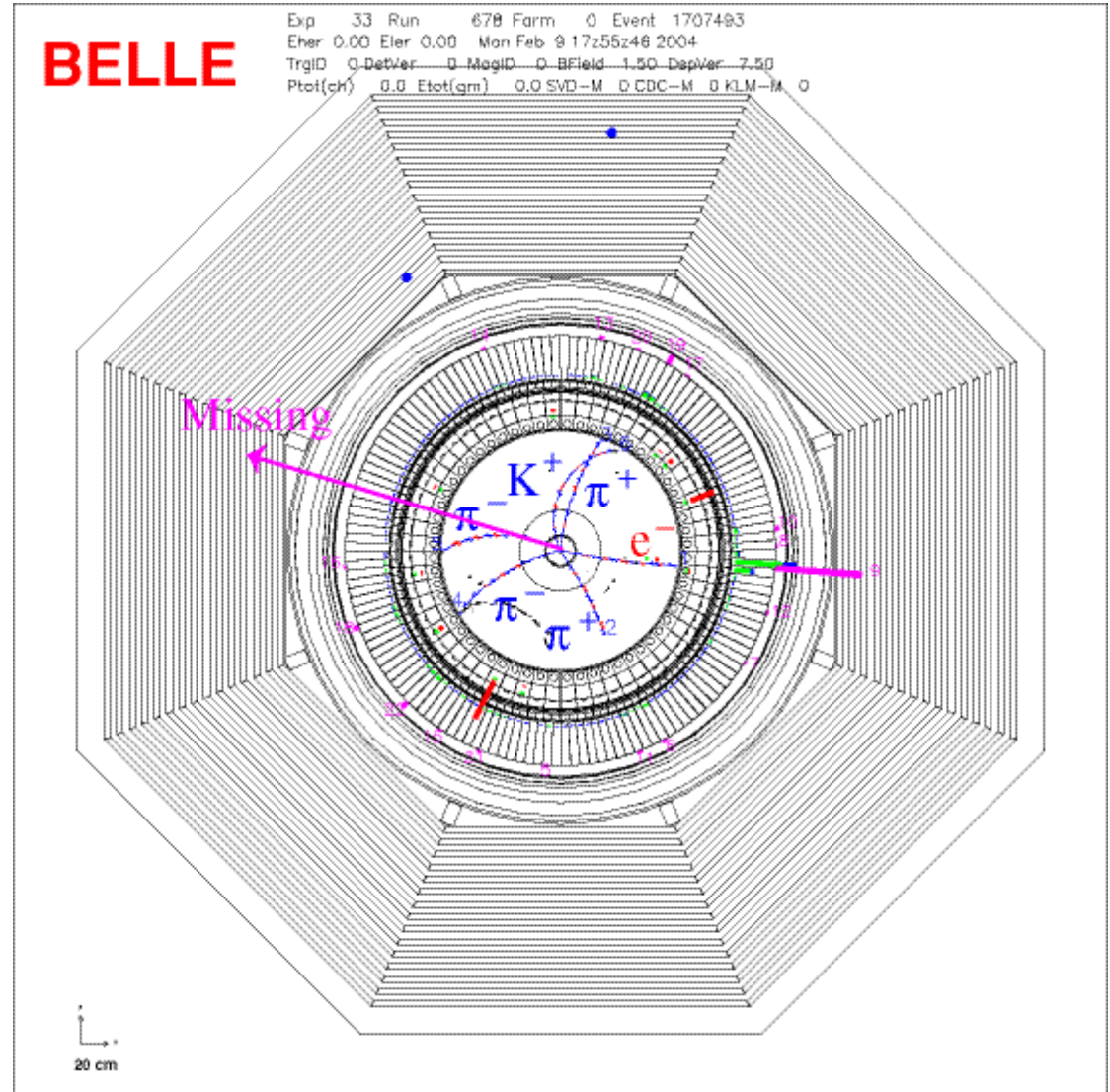
# B → τ ν Candidate Event

$$B^+ \rightarrow \bar{D}^0 \pi^+$$

$$\downarrow K^+ \pi^- \pi^+ \pi^-$$

$$B^- \rightarrow \tau^- \nu$$

$$\downarrow e^- \nu \nu$$



# Belle Results

Signal shape : Gauss + exponential

Background shape : second-order polynomial

## ■ Hadronic Tag (449M $B\bar{B}$ )

PRL 97, 251802 (2006)

$$\text{Br}(\tau\nu) = [1.79^{+0.56}_{-0.49} (\text{stat})^{+0.46}_{-0.51} (\text{syst})] \times 10^{-4}$$

$$N_S = 24.1^{+7.6}_{-6.6} (\text{stat})^{+5.5}_{-6.3} (\text{syst})$$

in all EECL region.

3.5 $\sigma$  (incl. syst.)

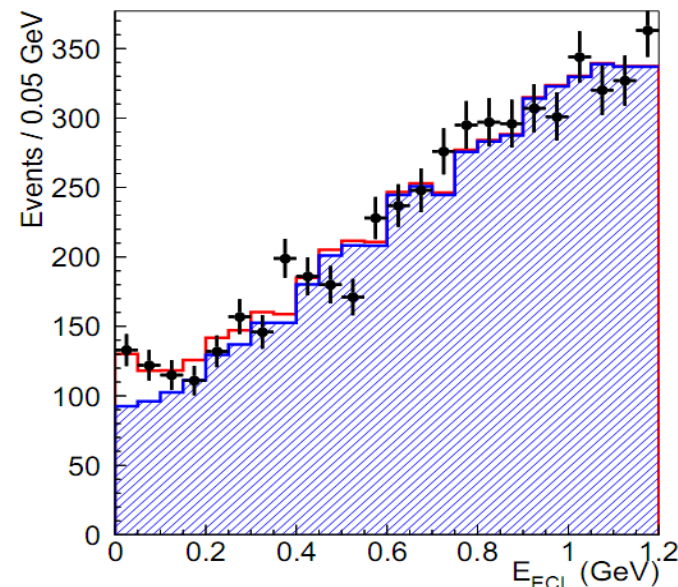
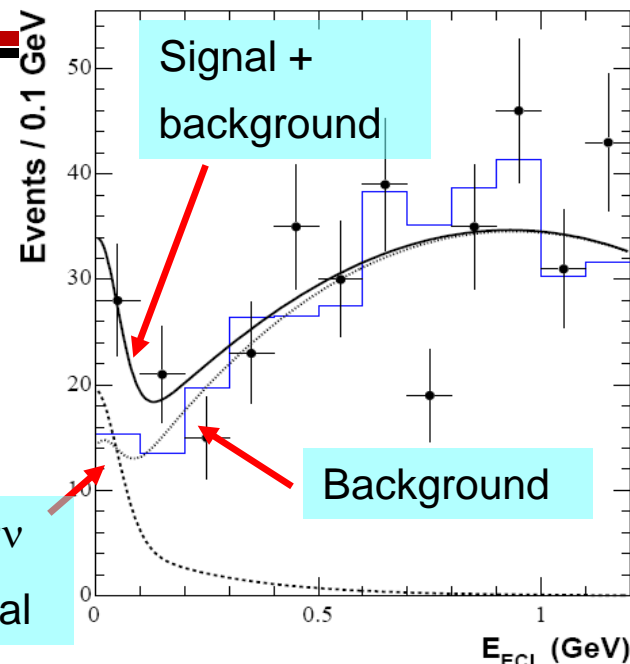
## ■ Semileptonic Tag (657M $B\bar{B}$ )

BELLE-CONF-0840, arXiv:0809.3834

$$\text{Br}(\tau\nu) = [1.65^{+0.38}_{-0.37} (\text{stat})^{+0.35}_{-0.37} (\text{syst})] \times 10^{-4}$$

$$N_S = 154^{+36}_{-35} (\text{stat})^{+21}_{-22} (\text{syst})$$

3.8 $\sigma$  (incl. syst.)



# Constraint on Charged Higgs

Naïve world average  
 $Br(\tau\nu) = [1.73 \pm 0.35] \times 10^{-4}$



$Br_{SM}(\tau\nu) = [1.20 \pm 0.25] \times 10^{-4}$

Based on fB from HPQCD and  $|V_{ub}|$  from HFAG (BLNP, ICHEP08)

## Effect of Charged Higgs

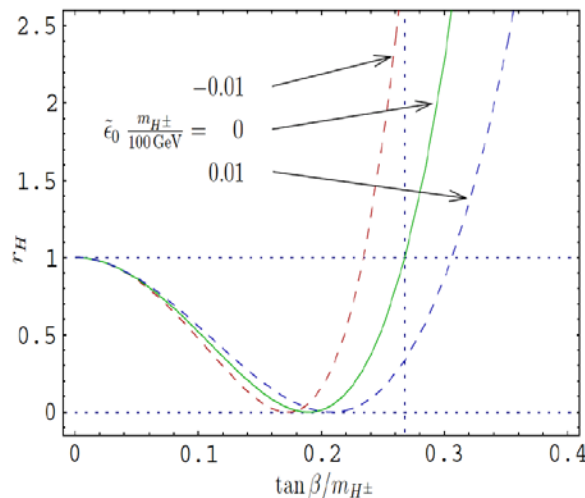
W. Hou, Phys. Rev. D48, 2342 (1993)

$$Br = Br_{SM} \times r_H,$$

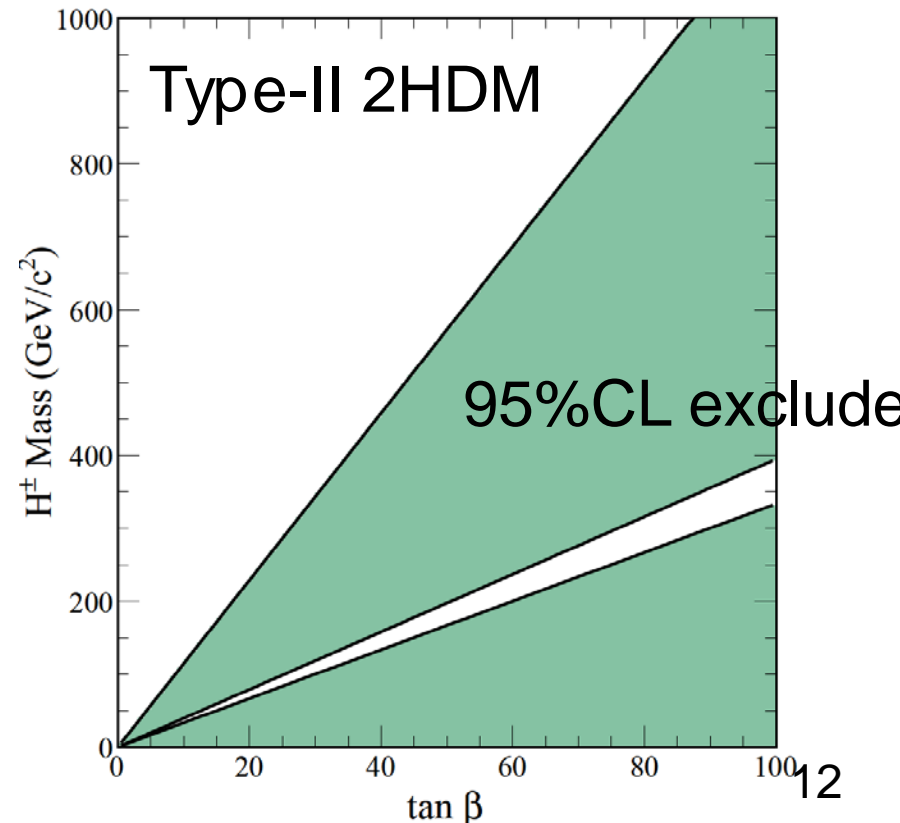
$$r_H = \left( 1 - \frac{m_B^2 \tan \beta^2}{m_H^2} \frac{1}{1 + \epsilon_0 \tan \beta} \right)^2$$

$$\tan \beta = \frac{v_u}{v_d} \quad \text{SUSY Loop correction}$$

$\epsilon_0 = 0$  for Type-II 2HDM

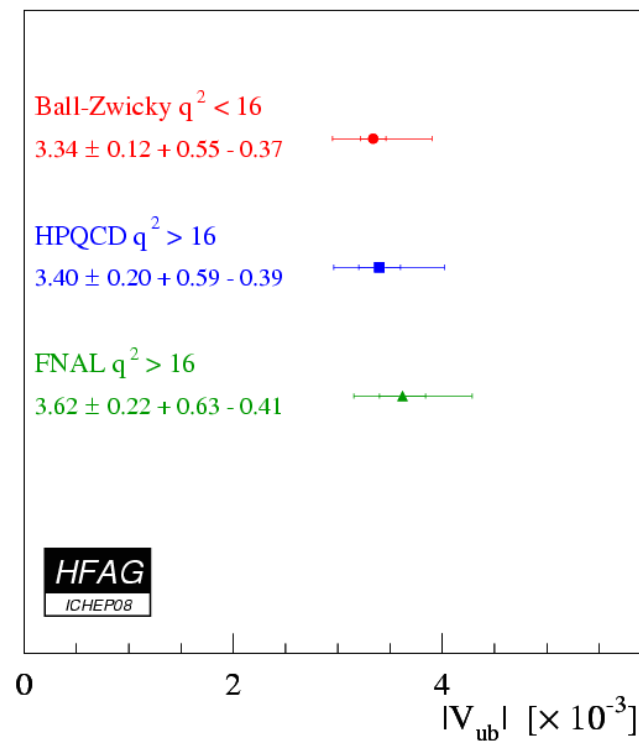
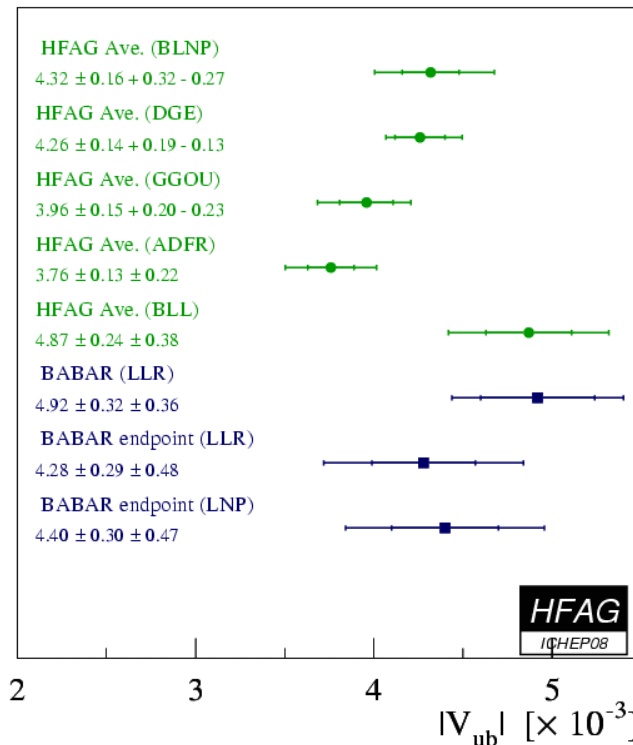


## Constraint on charged Higgs

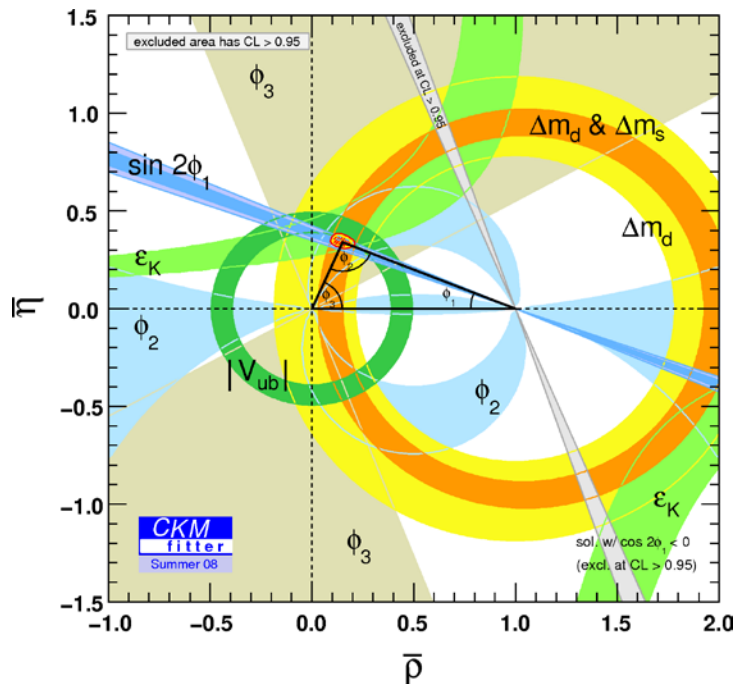


# However....

- Can we rely on lattice for  $f_B$  ?
- Can we rely on  $|V_{ub}|$  ?



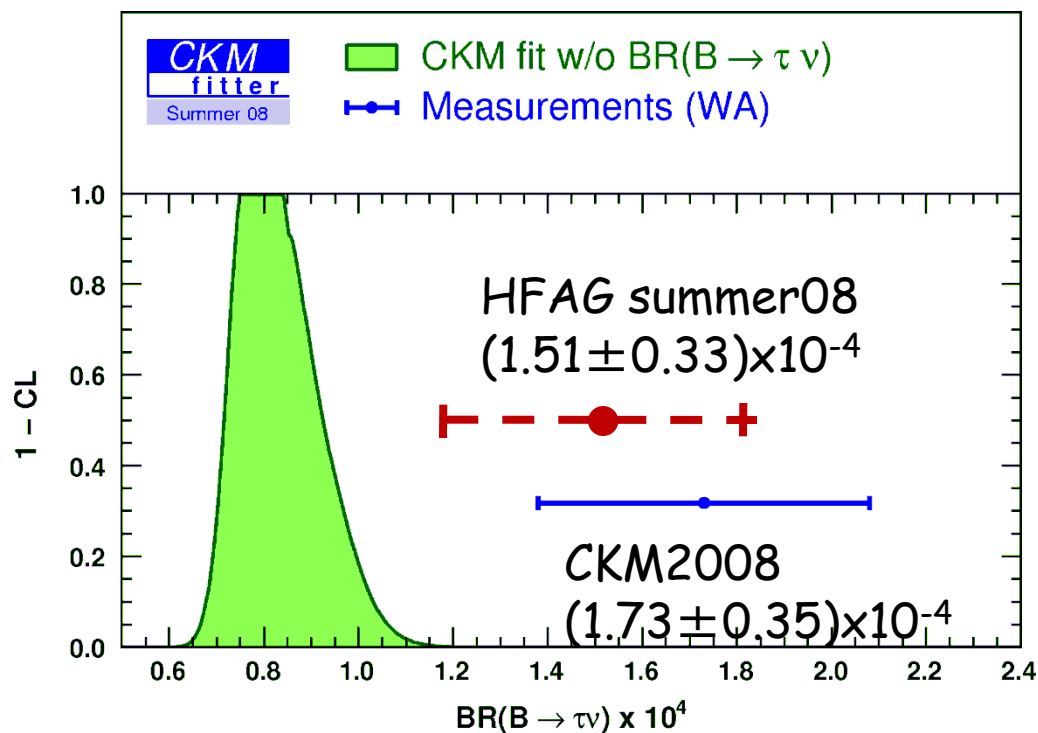
# If we use CKM fit...

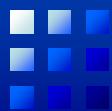


$$\text{Br}(\tau\nu)_{\text{fit}} = (0.937^{+0.096}_{-0.015}) \times 10^{-4}$$

$$\text{Br}(\tau\nu)_{\text{fit}} = (0.786^{+0.179}_{-0.083}) \times 10^{-4}$$

$\tau\nu$  is not included in the fit





# $B \rightarrow D \tau \nu$

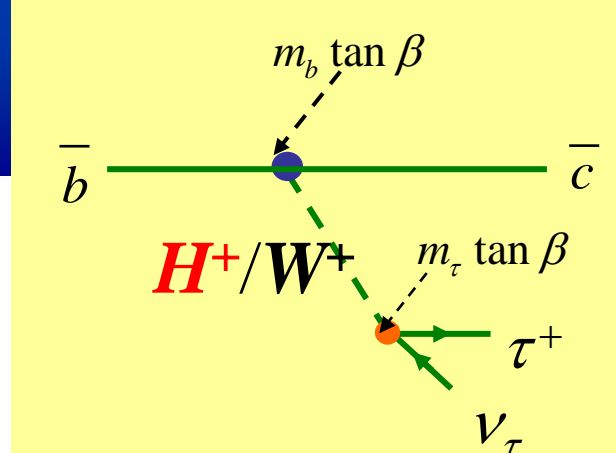
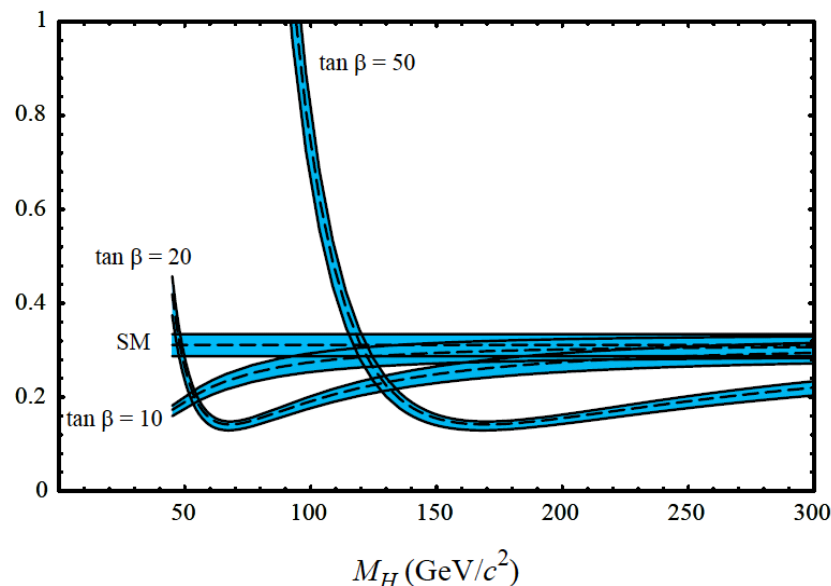
$B \rightarrow D \tau \nu$  is also sensitive to  $H^+$ , and complementary to  $B \rightarrow \tau \nu$ .

- Relatively large Br  $\sim 0.8\%$

- **Different theory systematics:**

- free from  $V_{ub}$  and  $f_B$  uncertainties.
- depends on the  $B \rightarrow D$  form factors,

$$R(D) = \frac{Br(B \rightarrow D\tau\nu)}{Br(B \rightarrow D\ell\nu)}$$



- Three-body decay permits the study of decay distributions which discriminate between  $W^+$  and  $H^+$  exchange. U. Nierste, S. Trine, S. Westhoff PRD78, 015006 (2008).

- Universality between H-b-c, ( $D\tau\nu$ ), H-b-u ( $\tau\nu$ ), H-b-t (LHC) can be tested.

arXiv:0906.1652 (hep-ph/)

A. Cornell, A. Deandrea, N. Gaur, H. Itoh, M. Klasen, Y. Okada



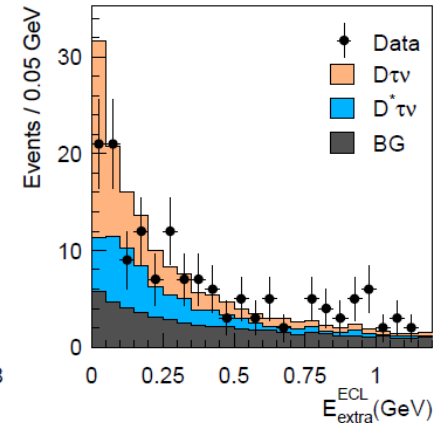
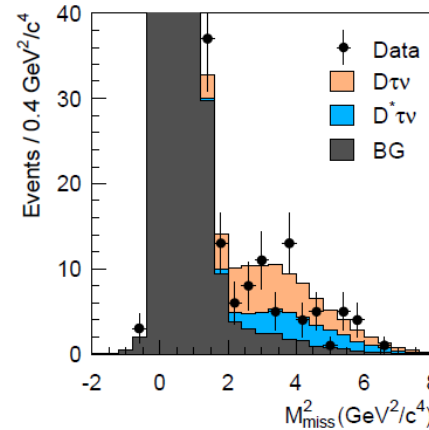
# B → D τ ν w/ by Belle

First observation of B → D\* τ ν  
w/ inclusive tag  
PRL99, 191807 (2007),

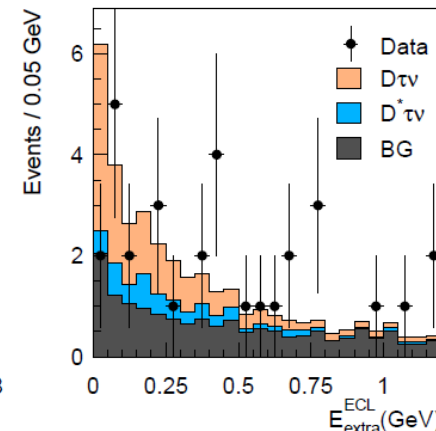
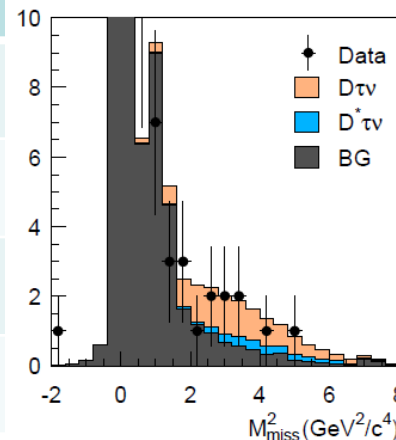


- 657M BB
- Hadronic tags.
- Extract signals in (MM<sup>2</sup>, E<sub>ECL</sub>) distribution.
- Simultaneous extraction of Dτν/D\*τν.

$$B^+ \rightarrow \bar{D}^0 \tau^+ \nu$$



$$B^0 \rightarrow D^- \tau^+ \nu$$



	R(%)	Ns	Signif.
D <sup>0</sup> τ ν	70.2 <sup>+18.9 +11.0</sup> <sub>-18.0 -9.1</sub>	98.6 <sup>+26.3</sup> <sub>-25.0</sub>	3.8(4.4)
D <sup>+</sup> τ ν	47.6 <sup>+21.6 +6.3</sup> <sub>-19.3 -5.4</sub>	17.2 <sup>+7.7</sup> <sub>-6.9</sub>	2.6(2.8)
D <sup>*0</sup> τ ν	46.8 <sup>+10.6 +6.2</sup> <sub>-10.2 -7.2</sub>	99.8 <sup>+22.2</sup> <sub>-22.3</sub>	3.9(5.2)
D <sup>*+</sup> τ ν	48.1 <sup>+14.0 +5.8</sup> <sub>-12.3 -4.1</sub>	25.0 <sup>+7.2</sup> <sub>-6.3</sub>	4.7(5.9)

Dτν signal

D\*τν cross talk





# B → Dτν: BaBar+Belle

## My Naïve Average

- Belle R(D) = [60 ± 14(stat) ± 8(syst)]%
- BaBar R(D) = [41.6 ± 11.7(stat) ± 5.2(syst)]%
- Belle+BaBar R(D) = [49 ± 10]%

$$R(D) = \frac{Br(B \rightarrow D\tau\nu)}{Br(B \rightarrow D\ell\nu)}$$

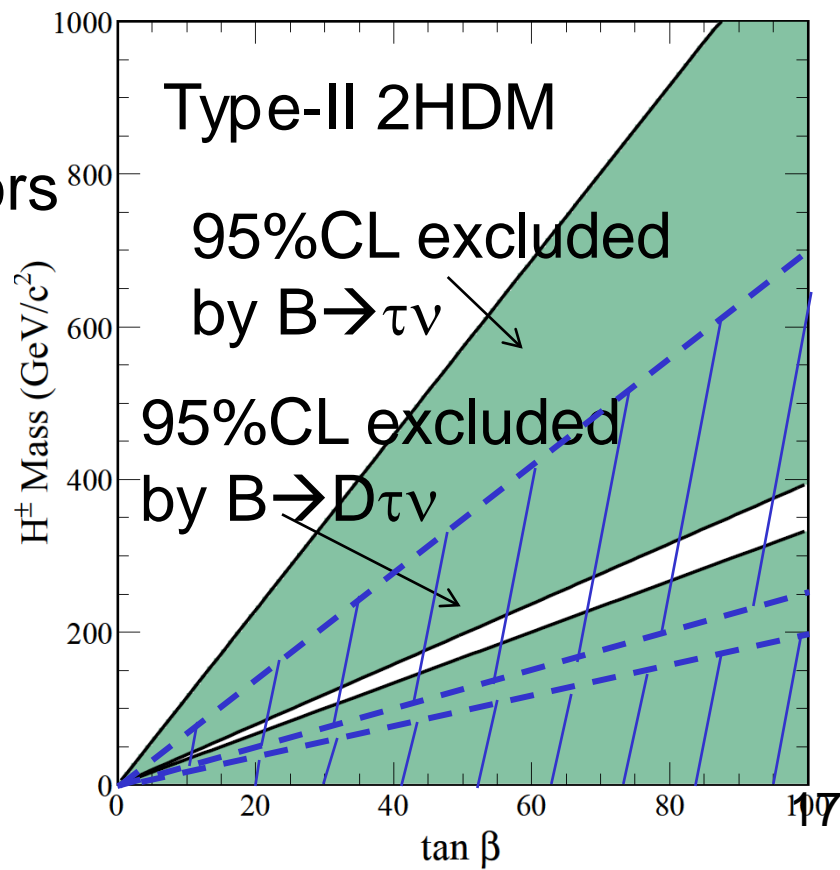
## Constraint on Charged Higgs

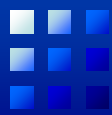
$$Br(B \rightarrow D\tau\nu) = G_F^2 \tau_B |V_{cb}|^2 f(F_V, F_S, g_S)$$

form factors

$$g_S = \frac{m_B^2}{m_H^2} \tan^2 \beta \quad (\text{Type-II 2HDM})$$

H. Itoh, S. Komine and Y. Okada,  
PTP 114, 179 (2005), hep-ph/0503124.  
D l ν form factor reported by BaBar;  
arXiv: 0807.4978, 0809.0828








# Sensitivity to charged Higgs

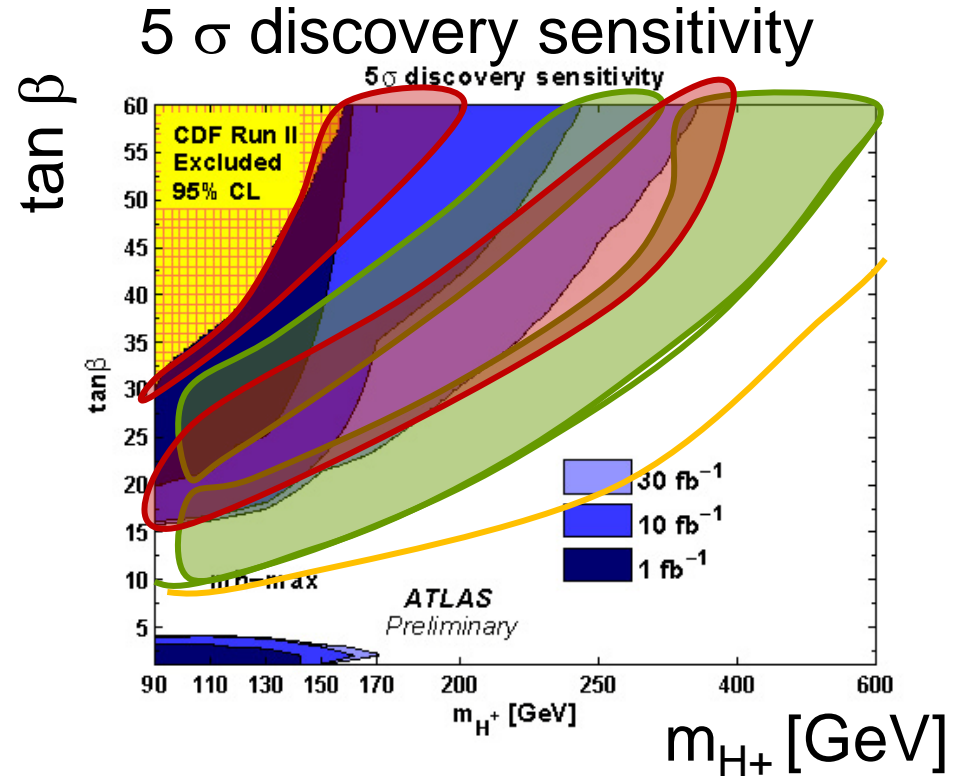
Charged Higgs boson

Atlas

Belle II, 5  $\text{ab}^{-1}$

Belle II, 50  $\text{ab}^{-1}$

-  excluded currently ( $\text{Br}(B \rightarrow \tau \nu)$ ) @ 95.5%
-   $5\sigma$  discovery, Belle II, 5  $\text{ab}^{-1}$
-   $5\sigma$  discovery, Belle II, 50  $\text{ab}^{-1}$



Belle II  $\text{Br}(B \rightarrow \tau \nu)$  sensitive to  $H^+$  at large  $m_{H^+}$  and  $\tan \beta$

at low  $\tan \beta$   $B \rightarrow X_s \gamma$  constraints the parameters

Belle II reach @ L can be parametrized:

$$\tan \beta \geq 5 \cdot \sqrt{(0.5 \text{ ab}^{-1}/L) \cdot [1 \cdot 10^{-4} \text{ GeV}^{-2} \cdot (m - 90 \text{ GeV})^2 + 12.2]}$$

B. Golob

# Bファクトリーのアップグレード

目標ルミノシティ =  $8 \times 10^{35} \text{cm}^{-2}\text{s}^{-1}$

- RFの増強 より高いビーム電流
- 衝突点の改良 より小さいビームサイズ

## Super-KEKB

$$L = 8 \times 10^{34} \text{cm}^{-2}\text{s}^{-1}$$

$$I_{\text{LER/HER}} = 2.96/1.70 \text{A}$$

$$\beta_y^* = 0.22 \text{mm}$$

$$\int L dt = 50 \text{ab}^{-1}$$

$$\int L dt = 10 \text{ab}^{-1}$$

## Present KEKB

$$L = 2 \times 10^{34} \text{cm}^{-2}\text{s}^{-1}$$

$$I_{\text{LER/HER}} = 1.62/0.95 \text{A}$$

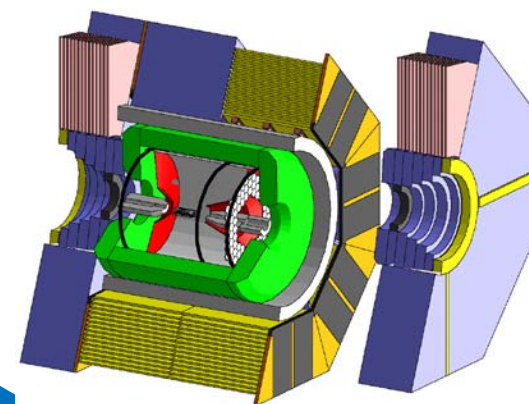
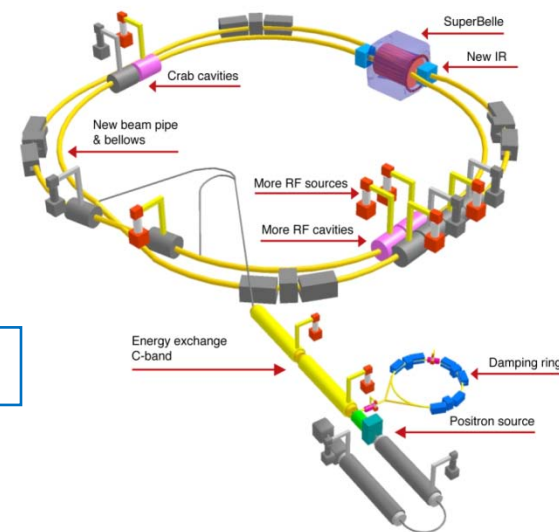
$$\beta_y^* = 5.9 \text{mm}$$

$$\int L dt = 1 \text{ab}^{-1}$$

Three year shutdown to:

- ▶ install new beam pipe
- ▶ increase RF
- ▶ modify IR

**+ Belle upgrade**



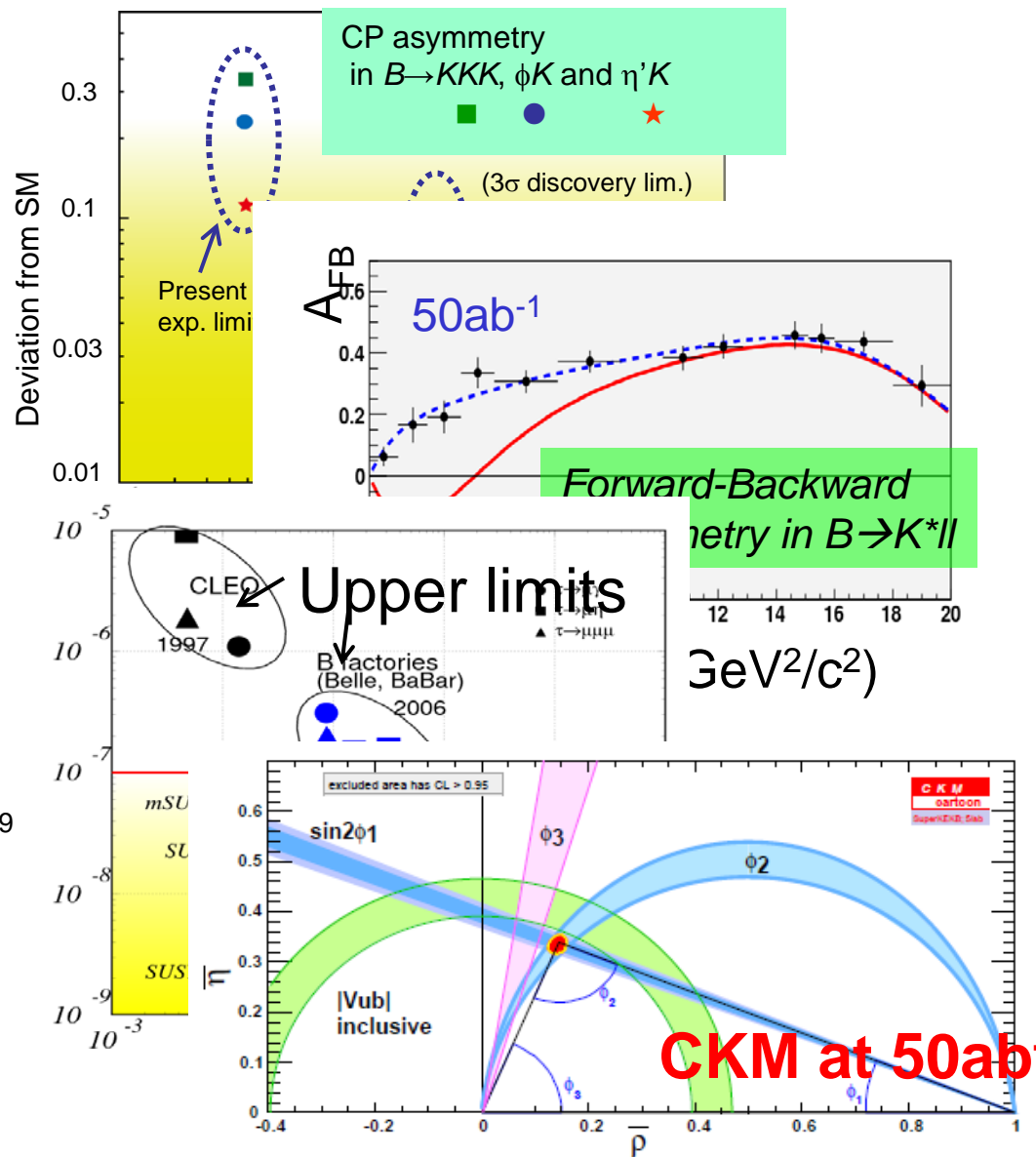
Physics with  $O(10^{10})$  B,  $\tau$ , charm

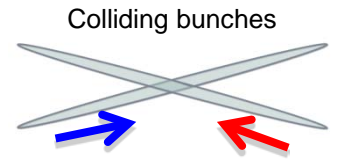
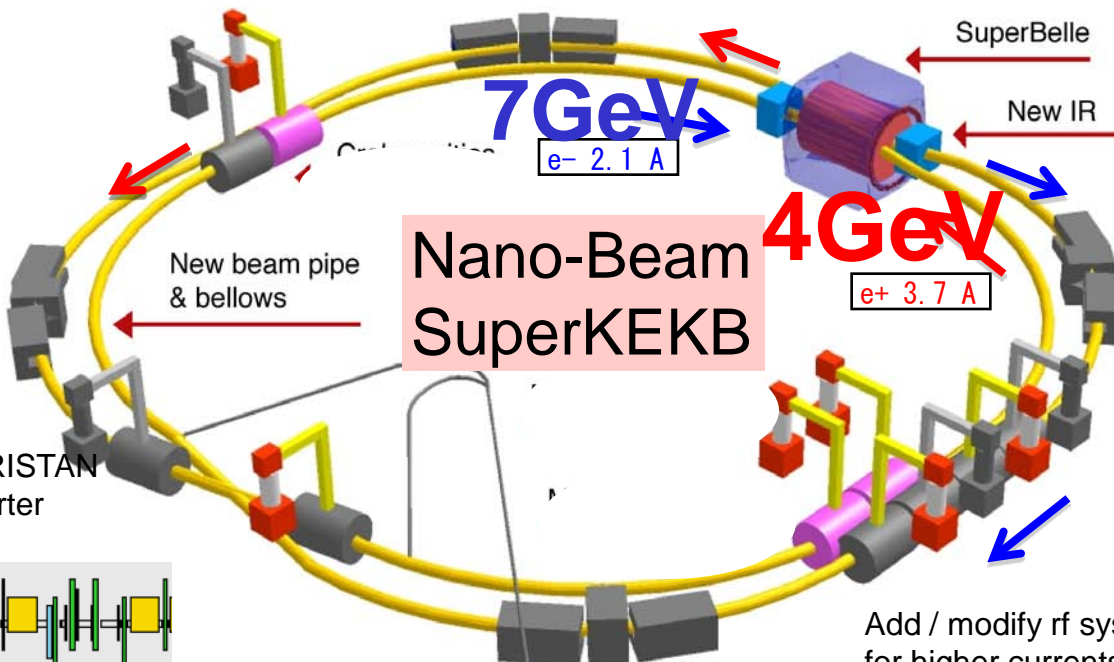


# Physics Reach at Super-KEKB/Belle

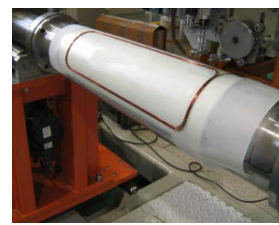
	Belle'06 (~0.5ab <sup>-1</sup> )	5ab <sup>-1</sup>	50ab <sup>-1</sup>
$\Delta S(\phi K^0)$	0.22	0.073	0.029
$\Delta S(\eta' K^0)$	0.11	0.038	0.020
$\Delta S(K_S K_S K_S)$	0.33	0.105	0.037
$\Delta S(K_S \pi^0 \gamma)$	0.32	0.10	0.03
$Br(X_S \gamma)$	13%		
$A_{CP}(X_S \gamma)$	0.058	0.01	0.005
$C_9 [A_{FB}(K^{*II})]$	---	11%	4%
$C_{10} [A_{FB}(K^{*II})]$	---	13%	4%
$Br(B^+ \rightarrow K^+ \nu \nu)$	<9Br(SM)	33ab <sup>-1</sup> for 5 $\sigma$ discovery	
$Br(B^+ \rightarrow \tau \nu)$	3.5 $\sigma$	10%	3%
$Br(B^+ \rightarrow \mu \nu)$	<2.4Br(SM)	4.3ab <sup>-1</sup> for 5 $\sigma$ discovery	
$Br(B^+ \rightarrow D \tau \nu)$	---	7.9%	2.5%
$Br(\tau \rightarrow \mu \gamma)$	<45	<30	<8
$Br(\tau \rightarrow \mu \eta)$	<65	<20	<4
$Br(\tau \rightarrow 3\mu)$	<209	<10	<1
$\Delta \sin 2\phi_1$	0.026	0.016	0.012
$\Delta \Phi_2(\rho\pi)$	68° - 95°	3°	1°
$\Delta \Phi_3(\text{Dalitz})$	20°	7°	2.5°
$\Delta V_{ub}(\text{incl.})$	7.3%	6.6%	6.1%

X10<sup>-9</sup>

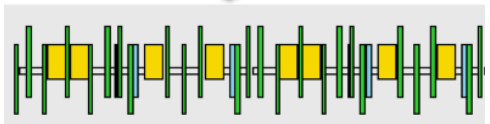
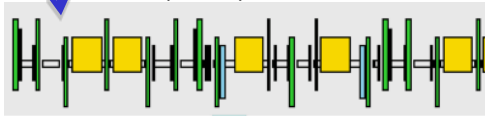




New Superconducting / permanent final focusing quads near the IP



Replace long TRISTAN dipoles with shorter ones (HER).



Redesign the HER arcs to squeeze the emittance.

Add / modify rf systems for higher currents.

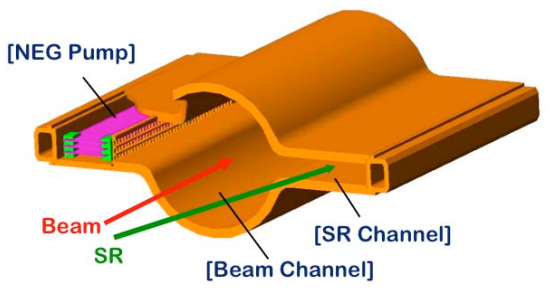
Damping ring

Low emittance positrons to inject  
Positron source

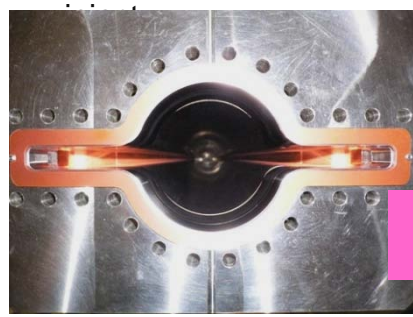
Low emittance gun

Low emittance electrons to

New positron target / capture section



TiN coated beam pipe with antechambers



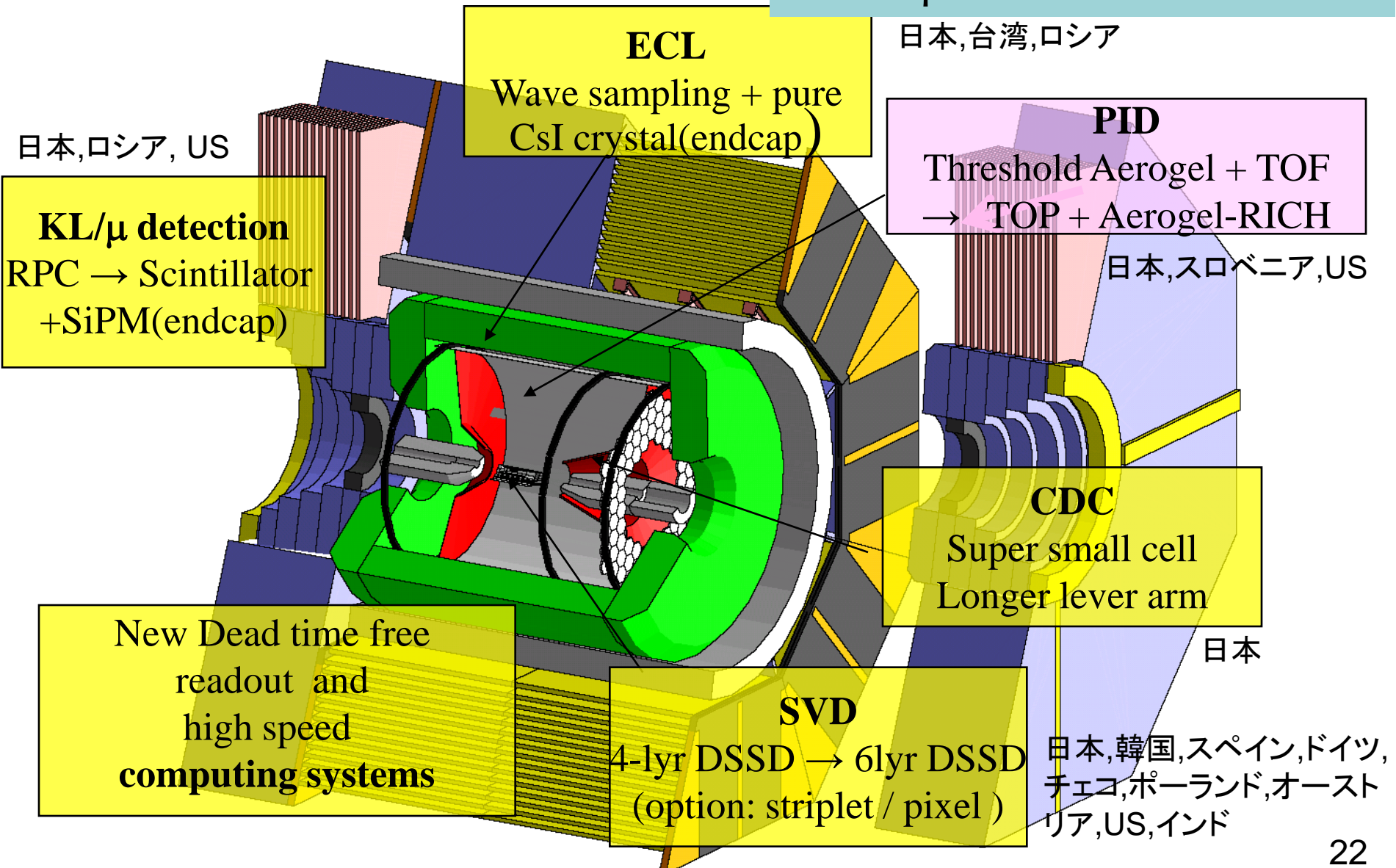
$$L = \frac{\gamma_{\pm}}{2e r_e} \left( 1 + \frac{\sigma_y^*}{\sigma_x^*} \right) \frac{I_{\pm} \xi_{\pm y}}{\beta_y^*} \left( \frac{R_L}{R_y} \right)$$

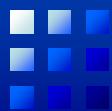
**x40 Gain in Luminosity<sup>21</sup>**



# Belle Upgrade

Better background tolerance  
Better performance





# New Collaboration

- 2004.06: **SuperKEKB Lol**
- 2008.01: **KEK ロードマップ**
- 2008.03 **1sr プロトコラボレーションミーティング**
- 2008.10 **Detector design study report**
- 2008.12: **新実験コラボレーションキックオフ(1<sup>st</sup>. meeting)**

13ヶ国, 43 研究機関、スポークスマン選考中  
ドイツ、チェコ、インド、US などから新たな参加



2010.3.31-4.2 **第5回コラボレーションミーティング**





# まとめ

- KEKB/Belle 実験 → 世界最高ルミノシティーによる成果総括へ
  - CPV, 小林益川理論の検証
  - B稀崩壊
  - $\tau$  物理



- Super-KEKB/Belle II 実験

- 目標ルミノシティー:  $8 \times 10^{35} \text{cm}^{-2} \text{s}^{-1}$

- **B物理**

Heavy flavor による  
新物理の探索と解明

- **タウ物理**

- **ハドロン物理**

新しい物質の存在形態

**(QCD)**

物理は豊富。新たな価値観も。



世界最高ルミノシティー加速器の増強と、ユニークな最先端測定器によって、電子・陽電子衝突加速器実験のフロンティアを切り開く。

若手の参加を歓迎しています。